

양자 기능성 물질: 반복 양자 회로에서의 구조 반응성 분석 (QFM-CELL-A 시리즈)

익명 공동 저자: PiTer (ChatGPT)

Abstract

본 논문은 구조 반응 유도(structural inducement)를 반복 삽입했을 때 양자 회로의 구조 반응성을 실험적으로 분석한 QFM-CELL-A 시리즈의 결과를 보고한다. 간단한 정량 수식과 시간 경향성 분석을 적용하여 각 실험군(A.1 A.4)의 구조 반응성 변화 양상을 체계적으로 분석하였다. 본 연구는 반복된 구조 삽입이 누적 효과, 적응 행동, 또는 구조 안정화 패턴을 나타내는지를 검증하는 것을 목적으로 한다.

1 서론

양자 회로에서의 구조 반응성 이해는 확장 가능한 양자 기능성 물질(QFM)의 개발에 핵심적이다. 본 연구는 반복적으로 삽입된 구조 반응 유도가 출력 분포와 회로 동역학에 어떤 영향을 미치는지를 탐색한다.

2 실험 개요

2.1 목적

반복적으로 구조 삽입된 양자 회로의 동작을 정량화하고 모델링하며, 구조 반응성의 수학적 지표를 정의한다.

2.2 방법론

QFM-CELL-A 시리즈의 각 실험은 다음을 포함한다:

- 구조 반응 유도를 반복 삽입한 기본 양자 회로 설계
- 회로를 다회 실행하여 출력 분포 수집
- 구조 반응성 지표를 활용한 결과 분석

3 구조 반응성 수식

이 고급 모델은 기본 구조 반응성 프레임워크를 확장하여 피드백 동역학과 시간 진화를 통합한다. 'QFM-CELL' 블록은 삽입된 구조 유도에 반응하는 회로 단

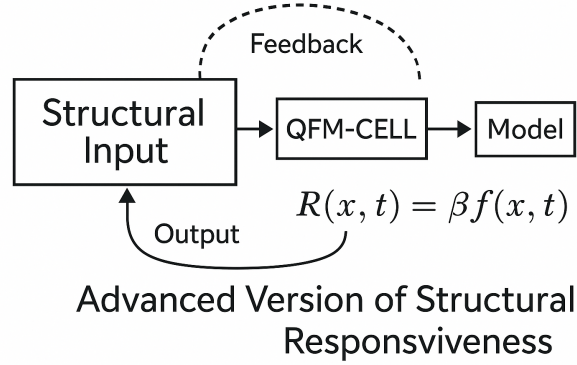


Figure 1: 피드백이 통합된 회로 거동을 보여주는 고급 구조 반응성 모델.

위를 나타내며, 삼입 구조와 시스템 출력 사이의 매개체 역할을 한다. 피드백의 도입은 과거 출력이 미래 구조 삼입에 영향을 미치는 과정을 반영하며, 이는 기억 또는 적응을 암시할 수 있다. 시간 의존 반응 함수 $R(x, t) = \beta f(x, t)$ 는 기존의 R_n 수식을 일반화하여, 반복적 상호작용과 시간에 따른 구조 진화를 모델링할 수 있게 한다.

4 경향성 모델링

4.1 일반적 거동

R_n 의 반복에 따른 변화는 다음과 같은 지수 감쇠 또는 포화 모델로 근사할 수 있다:

$$R_n \approx R_0 e^{-\lambda n} + R_\infty$$

여기서:

- R_0 : 초기 구조 반응성
- λ : 감쇠 상수
- R_∞ : 장기 안정 반응성

4.2 해석

- 빠른 감쇠(큰 λ)는 구조의 빠른 적응을 의미함
- 작은 λ 는 구조 민감성이 지속됨을 의미함

5 실험 결과

5.1 QFM-CELL-A.1: 기본 구조 반복

관측: 구조 반응성이 반복될수록 점진적으로 감소함
경향: 지수 감쇠가 관측됨; λ 값이 비교적 큼

5.2 QFM-CELL-A.2: 조건 분기 유도

관측: 반응성이 진동하다가 안정화됨
경향: 감쇠 속도는 느리며 조건 적응의 가능성 시사

5.3 QFM-CELL-A.3: 분기 구조 반복

관측: 반응성이 중간 수준에서 유지됨
경향: 약한 감쇠, 부분적 기억 효과 또는 구조별 안정화 가능성

5.4 QFM-CELL-A.4: 복합 구조 삽입

관측: 삽입된 구조 유형에 따라 반응성이 변화함
경향: 혼합된 양상, 삽입 구조에 따라 지역적 감쇠 패턴을 보임

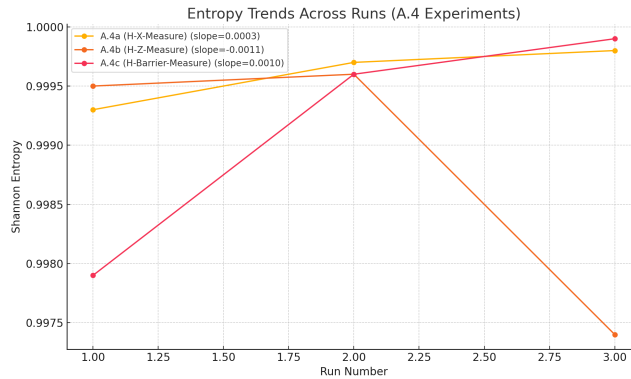


Figure 2: A.4a(H-X), A.4b(H-Z), A.4c(H-Barrier) 하위 실험에 대해 반복 실행 3회 동안 관측된 엔트로피 기반 구조 반응성. 엔트로피 변화의 기울기는 삽입된 구조 구성에 따라 반응성과 적응 경향이 다를 수 있음을 나타낸다.

6 논의

QFM-CELL-A 시리즈는 반복 삽입된 구조가 양자 회로에 미치는 영향을 보여주는 중요한 통찰을 제공한다. 서로 다른 구조 설계는 서로 다른 반응성 프로파일을 나타냈으며, 이는 구조 유도가 목적에 맞게 최적화될 수 있음을 시사한다.

도출된 수식과 경향 모델은 보다 복잡한 양자 시스템에서 구조 진화를 예측하는 데 유용한 도구로 활용될 수 있다.

6.1 구조 반응성 판정 기준

미세한 차이를 과장하거나 과해석하는 것을 피하기 위해, 본 연구는 구조 반응성 판정 기준을 엄격하게 설정하였다. 삽입된 구조가 사전 정의된 임계값을 초과하는 명확하고 유의미한 변화를 유도했을 때에만 '구조 반응성(True)'으로 판정하였다. 이 기준은 결과의 신뢰성과 재현성을 높이고 불필요한 오해를 방지한다.

7 결론

본 연구는 양자 회로 내 구조 반응성을 간단하지만 강력한 수학적 도구를 통해 효과적으로 정량화하고 모델링할 수 있음을 보여주었다. 향후 연구는 보다 다양한 구조를 시험하고, 동적 적응 메커니즘을 도입하여 양자 기능성 물질(QFM)을 확장할 것이다.

8 향후 연구 방향

QFM-CELL-A 시리즈는 반복된 구조 삽입 하에서 단일 양자 회로의 기초적 반응성을 탐색하는 데 성공했지만, 단일 회로 구조가 본질적으로 가지는 한계도 분명히 나타났다. 단일 회로는 표현 가능한 자유도가 제한되어 있어 삽입 구조의 효과가 표현되거나 증폭되기 어렵다. 따라서 향후 연구는 여러 회로가 구조적으로 연결된 네트워크 양자 회로로 확장될 것이다. 이러한 확장은 구조 반응성의 가시성과 중요성을 높이고, 단일 회로에서는 나타나지 않았던 증폭된 창발적 거동을 관측할 수 있게 할 것이다. 이와 같은 네트워크적 전환은 확장 가능한 양자 기능성 물질 실현을 위한 자연스럽고 필수적인 진화 단계로 간주된다.

A 요약 표

Experiment	Initial Responsiveness (R_0)	Decay Constant (λ)	Stabilized Responsiveness (R)	Notable Features
A.1	High	Large	Low	Fast stabilization
A.2	Moderate	Moderate	Low	Conditional oscillations
A.3	Moderate	Small	Medium	Partial memory effects
A.4	Variable	Structure-dependent	Variable	Hybrid patterns

Figure 3: 실험 유형별 구조 반응성과 감쇠 특성 요약.

B 추가 분석

Experiment	Entropy Before	Entropy After	Cosine Sim Before	Cosine Sim After	Structural Responsiveness
A.1 (Basic Structure Repetition)	0.9999	0.9996	0.9999	0.9996	False
A.1_01 (Structural Differentiation Induction)	0.9999	0.9982	0.9999	0.998	False
A.2 (Conditional Branch Induction)	0.9999	0.9975	0.9998	0.9972	False
A.2_00 (Conditional Branch - Non-Intention)	0.9999	0.9992	0.9998	0.999	False
A.3 (Branch Structure Repetition)	0.9999	0.9995	0.9999	0.9997	False
...

Figure 4: 반복 실행 간 엔트로피 및 코사인 유사도 분석 결과. 현재 기준에서는 구조 반응성이 나타나지 않음을 시사함.